

staltstypen aus den sieben Punktlagen *A, B, C, 1, 2, 3, 4* des Urbauteils in Fig. 169 abzuleiten.

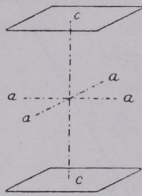


Fig. 172. Pinakoid.

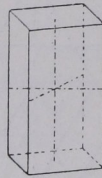


Fig. 173. Tetragonales Prisma 1. Stellung.

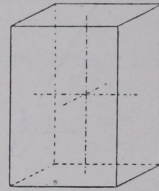


Fig. 174. Tetragonales Prisma 2. Stellung.

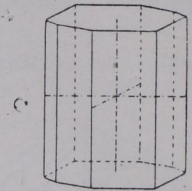


Fig. 175. Ein ditetragonales Prisma.

α . Flächen senkrecht zur Hauptachse.

C. Pinakoid $\{001\}$. Fig. 172.

β . Flächen parallel zur Hauptachse.

A. Tetragonales Prisma erster Stellung $\{110\}$. Fig. 173.

B. Tetragonales Prisma zweiter Stellung $\{100\}$. Fig. 174.

3. Ditetragonale Prismen $\{hko\}$. Fig. 175.

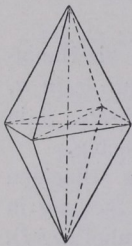


Fig. 176. Eine tetragonale Bipyramide, 1. Stellung.

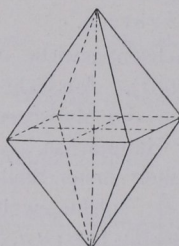


Fig. 177. Eine tetragonale Bipyramide, 2. Stellung.

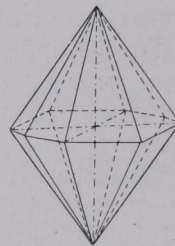


Fig. 178. Eine ditetragonale Bipyramide.

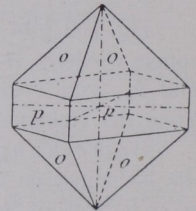


Fig. 179. Zirkon.

γ . Flächen schräg zur Hauptachse.

1. Tetragonale Bipyramiden erster Stellung $\{hhl\}$. Fig. 176.

2. Tetragonale Bipyramiden zweiter Stellung $\{hol\}$. Fig. 177.

4. Ditetragonale Bipyramiden $\{hkl\}$. Fig. 178.

II. Ditetragonal-pyramidale Klasse. 4. Stufe.

Erzeugende Symmetrie $4d$ (tetragyrisch domatisch)

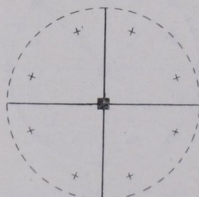


Fig. 180. Erzeugende Symmetrie der ditetragonal-pyramidalen Klasse ($4d$).

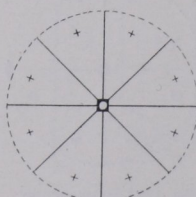


Fig. 181. Allgemeines ditetragonal-pyramidales Bauschema.